

doi: 10.13241/j.cnki.pmb.2014.11.014

## FAP $\alpha$ 在胞外信号传递中与整合素的关系 \*

田甜<sup>1</sup> 温秋婷<sup>2</sup> 杨薇薇<sup>1</sup> 李春红<sup>1</sup> 郑芳<sup>1</sup> 蒋淑婉<sup>1</sup> 李云<sup>1</sup> 刘端阳<sup>1</sup>  
曲雪梅<sup>1</sup> 陈鹤<sup>1△</sup>

(1 哈尔滨医科大学病理教研室 黑龙江哈尔滨 150081;2 齐齐哈尔医学院病理诊断中心 黑龙江齐齐哈尔 161006)

**摘要 目的:**研究成纤维激活蛋白(Fibroblast Activation Protein, FAP)在促进卵巢癌细胞发生侵袭、迁移、增殖过程中与整合素 $\alpha 3\beta 1$ 、尿激酶型纤溶酶原激活剂受体(uPAR)的关系。**方法:**1).免疫共沉淀共同检测整合素 $\alpha 3\beta 1$ 、uPAR在HO-8910PM上是否为二聚体。2).transwell侵袭实验、迁移实验检测抑制整合素 $\alpha 3\beta 1$ 、uPAR后,卵巢癌细胞系HO-8910PM的侵袭迁移能力;3).抑制整合素 $\alpha 3\beta 1$ 、uPAR后,再给予FAP $\alpha$ 对HO-8910PM侵袭、迁移和增殖的影响。**结果:**1).整合素 $\alpha 3\beta 1$ 、uPAR在HO-8910PM细胞外同一个位置表达;2).抑制整合素 $\alpha 3\beta 1$ 能够明显抑制HO-8910PM的侵袭、迁移、增殖能力,并且可以抑制FAP对肿瘤的作用。3).PAI-1抑制uPAR后,HO-8910PM的侵袭、迁移、增殖无明显变化,同时对FAP也无明显作用。**结论:**整合素 $\alpha 3\beta 1$ 和uPAR在HO-8910PM是一个复合体,FAP $\alpha$ 在细胞外是通过整合素 $\alpha 3\beta 1$ 传递信号进入细胞内而不是通过uPAR,整合素 $\alpha 3\beta 1$ 是通过uPAR与肿瘤细胞相连接。

**关键词:**成纤维细胞激活蛋白(FAP);卵巢癌细胞系(HO-8910PM);整合素 $\alpha 3\beta 1$ ;尿激酶型纤溶酶原激活剂受体(uPAR)

中图分类号:R730.231 文献标识码:A 文章编号:1673-6273(2014)11-2058-04

## The Relationship between FAP $\alpha$ in Extracellular Signal Transduction and Integrin\*

TIAN Tian<sup>1</sup>, WEN Qiu-ting<sup>2</sup>, YANG Wei-wei<sup>1</sup>, LI Chun-hong<sup>1</sup>, ZHENG Fang<sup>1</sup>, JIANG Shu-wan<sup>1</sup>, LI Yun<sup>1</sup>,  
LIU Duan-yang<sup>1</sup>, QU Xue-mei<sup>1</sup>, CHEN He<sup>1△</sup>

(1 Department of Pathology, Harbin Medical University, Harbin, Heilongjiang, 150081, China;

2 The center of pathological diagnosis, Qiqihar Medical university, Qiqihar, Heilongjiang, 161006, China)

**ABSTRACT Objective:** To study the relationship of integrin  $\alpha 3\beta 1$ , urokinase-type plasminogen activator receptor (uPAR) and fibroblast activation protein (Fibroblast Activation Protein, FAP) in promoting invasion, migration, proliferation of ovarian cancer cells.

**Methods:** 1) Co-immunoprecipitation was used to detect whether integrin $\alpha 3\beta 1$  uPAR was a trimer of HO-8910PM; 2) Transwell invasion assay, migration assay and MTT assay were to detect the impact on the invasion, migration and proliferation of HO-8910PM, which imposed by inhibition of integrin  $\alpha 3\beta 1$ , uPAR alone and with combined effects of FAP; 3) Inhibition of integrin  $\alpha 3\beta 1$ , uPAR, and then give FAP $\alpha$  on HO-8910PM invasion, migration and proliferation. **Results:** 1)Integrin  $\alpha 3\beta 1$ , uPAR in HO-8910PM expression of extracellular same position; 2) Inhibiting integrin  $\alpha 3\beta 1$  can inhibit HO-8910PM invasion, migration, proliferation, and can inhibit the FAP $\alpha$ ' function; 3) PAI-1 inhibition of uPAR, the ability of HO-8910PM invasion, migration, proliferation reduced and didn't have any significant changes on the FAP $\alpha$ ' function. **Conclusions:** Integrin $\alpha 3\beta 1$  and uPAR in HO-8910PM is a complex, FAP $\alpha$  in the extracellular pass through integrin  $\alpha 3\beta 1$  signal into the cell rather than through uPAR, integrins  $\alpha 3\beta 1$  by uPAR connected with tumor cells.

**Key words:** Fibroblast activation protein (FAP); Ovarian cancer cell line (HO-8910PM); Integrin  $\alpha 3\beta 1$ , urokinase-type plasminogen activator receptor (uPAR)

Chinese Library Classification: R730.231 Document code: A

Article ID: 1673-6273(2014)11-2058-04

### 前言

肿瘤的侵袭和转移是一个多步骤的过程,主要包括细胞的黏附、细胞外基质(extracellular matrix ECM)的降解和细胞转移3个步骤。

整合素介导着细胞与细胞之间的黏附,是肿瘤发生侵袭转

移的前提,同时又有一些降解细胞外基质的蛋白水解酶的参与,将细胞外基质降解,从而利于肿瘤细胞发生侵袭和转移<sup>[1]</sup>。成纤维细胞激活蛋白(fibroblast activation protein, FAP)作为一种丝氨酸蛋白酶,可以水解基质中许多底物、降解ECM,利于肿瘤细胞从原发部位脱离,从而促进肿瘤的侵袭和转移<sup>[2]</sup>。uPA是一种多功能丝氨酸蛋白酶,它与肿瘤细胞表面特异性受体

\* 基金项目:黑龙江省自然科学基金(D201049)

作者简介:田甜(1980-),女,讲师,研究方向:肿瘤转移和侵袭

△通讯作者:陈鹤,电话:18245161892,Email:chenhe\_2008@aliyun.com

(收稿日期:2013-09-23 接受日期:2013-10-18)

uPAR 结合后被激活使其在细胞表面的浓度大大提高, 从而可以非特异性地溶解 ECM 和基膜中的蛋白, 破坏 ECM 和基膜, 而促进肿瘤细胞向远处转移<sup>[3]</sup>。

FAP $\alpha$  是如何发挥其细胞外信号转导作用的机制尚不清楚。整合素 $\alpha 3\beta 1$  的 $\alpha 3$  链可与 uPAR 相互粘着<sup>[4,5]</sup>。因此, 推测通过 $\alpha 3$  链将整合素 $\beta 1$  与 FAP, uPAR 联结在一起, 通过粘着、蛋白水解、信号转导三个步骤来发挥 FAP $\alpha$  其促肿瘤侵袭、迁移、增殖的作用。

## 1 材料与方法

### 1.1 材料

高转移性卵巢癌细胞系 HO-8910PM (中科院上海生物科学研究所细胞库)FAP $\alpha$  (台湾 Abnova 公司), 整合素 $\alpha 3$  抗体 (美国 Santa 公司)整合素 $\beta 1$  抗体 (美国 Santa 公司)PAI-1 (美国 PeproTech 公司)uPAR 抗体 (美国 PeproTech 公司)

### 1.2 方法

**1.2.1 免疫共沉淀反应** 卵巢癌细胞系 HO-8910PM, 加入裂解液, 离心取上清。分别加入抗整合素 $\alpha 3$  抗体、抗整合素 $\beta 1$  抗体、抗 uPAR 的抗体 4℃ 过夜, 加入蛋白 G 4 h, 离心去上清后, 用 RIPA 洗沉淀, 加入 loading buffer 后煮沸, 离心后电泳, 转膜, 封闭 1 h, 加入抗 uPAR 抗体、抗整合素 $\alpha 3$  和整合素 $\beta 1$  的抗体, 4℃ 过夜孵育后, TBST 洗膜, 加入相应二抗, 37℃ 1 h, 洗膜, western blot 避光显色。

**1.2.2 迁移实验** HO-8910PM 细胞胰酶消化, 加入 transwell 小室上室, 下室加入 800  $\mu$ l 10%FBS RPMI 1640 完全培养基。实验分为 6 组:(a) 空白对照组 (b)FAP $\alpha$  组对照 (c) 整合素 $\alpha 3\beta 1$  抗体对照组 (d)PAI-1(uPAR 抑制剂)组 (e)整合素 $\alpha 3\beta 1$  抗体 +FAP $\alpha$  组 (f)PAI-1+FAP $\alpha$  组, 置于 37℃ 孵育 48 小时。取出小室乙醇固定, 苏木素染色, 用棉棒擦拭掉小室上面未穿过的细胞, 显微镜观察统计结果。

**1.2.3 侵袭实验** Matrigel 基质胶按 1:15 与无血清培养基稀释, 铺在 transwell 小室膜上, 放入孵箱内平衡 5 小时。与步骤同上迁移实验。

**1.2.4 MTT 增殖试验** 96 孔板接种 HO-8910PM 细胞, 实验分成 6 组(分组同前)每孔加入各种试剂 20  $\mu$ l 37℃ 孵育 4h。加入 DMSO, 摆床振荡酶联免疫酶标仪的 OD490nm 处测量吸光值。

### 1.3 统计学分析

统计分析应用 SPSS 统计软件, 两两比较采用 Two-tailed 检验, 检验水准  $\alpha=0.05$ 。P<0.05 为差异有统计学意义。

## 2 结果

### 2.1 免疫共沉淀验证整合素 $\alpha 3$ 、整合素 $\beta 1$ 、uPAR 的相互关系

结果表明用整合素 $\alpha 3$ 、整合素 $\beta 1$ 、uPAR 其中一种抗体免疫共沉淀, Western blotting 均能检测到免疫复合物中含有整合素 $\alpha 3$ 、整合素 $\beta 1$ 、uPAR 蛋白。

### 2.2 Transwell 迁移实验检测整合素 $\alpha 3\beta 1$ 、uPAR、FAP 对 HO-8910PM 迁移能力的影响

FAP 可以明显促进肿瘤细胞的迁移作用(如图 4B);整合素 $\alpha 3\beta 1$  能够明显抑制肿瘤细胞的迁移作用( $P<0.0001$ )(如图 4C);整合素 $\alpha 3\beta 1$  能够抑制 FAP 对肿瘤细胞的促迁移作用(如图 4D);PAI-1 对肿瘤细胞迁移能力无明显影响(如图 4E);PAI-1 对 FAP 促迁移能力的影响不明显(如图 4F)。

图 4D);PAI-1 对肿瘤细胞迁移能力无明显影响(如图 4E);PAI-1 对 FAP 促迁移能力的影响不明显(如图 4F)。

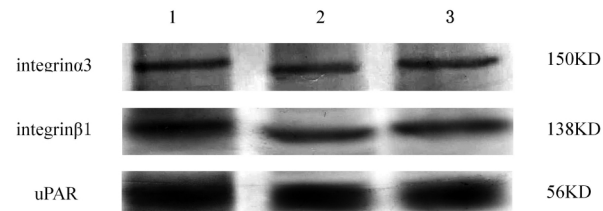


图 1 整合素 $\alpha 3$ 、整合素 $\beta 1$ 、uPAR 免疫共沉淀

Fig.1 Integrin $\alpha 3$ , integrin $\beta 1$ , uPAR co-immunoprecipitation

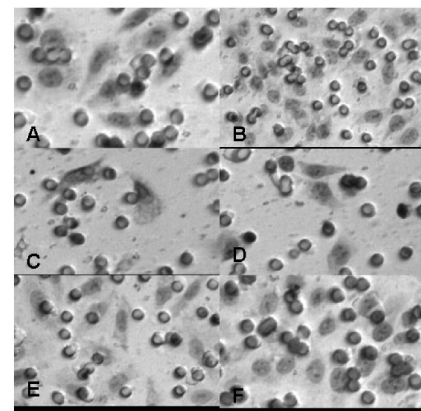


图 2 整合素 $\alpha 3\beta 1$ 、uPAR、FAP、PAI-1 对 HO-8910PM 迁移能力的影响( $\times 400$ )

(A-F 分别为对照组、FAP、整合素 $\alpha 3\beta 1$ 、整合素 $\alpha 3\beta 1$ +FAP、PAI-1、PAI-1+FAP)

Fig.2 Effect of integrin $\alpha 3\beta 1$ , uPAR, FAP, PAI-1 on migration ability of HO-8910PM cells( $\times 400$ )

(A-F:control group, FAP, integrin $\alpha 3\beta 1$ , integrin $\alpha 3\beta 1$ +FAP, PAI-1, PAI-1+FAP)

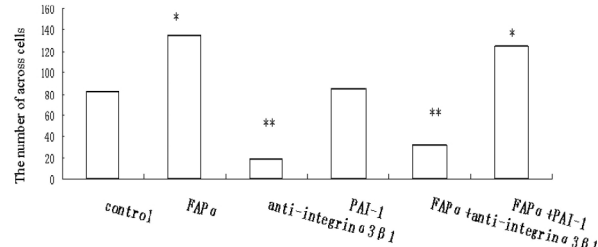


图 3 整合素 $\alpha 3\beta 1$ 、uPAR、FAP、PAI-1 对 HO-8910PM 迁移能力的影响 \* $P<0.05$ , \*\*  $P<0.01$

Fig.3 Effect of integrin $\alpha 3\beta 1$ , uPAR, FAP, PAI-1 on migration ability of HO-8910PM cells\* $P<0.05$ , \*\*  $P<0.01$

统计学分析 FAP $\alpha$  可促进细胞的迁移(\* $P<0.05$ )、整合素 $\alpha 3\beta 1$  抗体及 FAP $\alpha$  与整合素 $\alpha 3\beta 1$  抗体联合可显著减少细胞的迁移 (\*\*  $P<0.01$ );PAI-1 及 PAI-1 与 FAP 联合组均无明显统计学意义(见图 3)。

### 2.3 Transwell 侵袭实验检测整合素 $\alpha 3\beta 1$ 、uPAR、FAP 对 HO-8910PM 侵袭能力的影响

结果显示, FAP $\alpha$  可以明显促进肿瘤细胞的侵袭作用(如图 4A);整合素 $\alpha 3\beta 1$  抗体能够明显抑制肿瘤细胞的侵袭作用(如图 4C);整合素 $\alpha 3\beta 1$  能够抑制 FAP 对肿瘤细胞的促侵袭作用(如图 4D);PAI-1 对肿瘤细胞的侵袭能力影响不明显(如图 4E);PAI-1 对 FAP 的促侵袭能力影响不明显(如图 4F)。

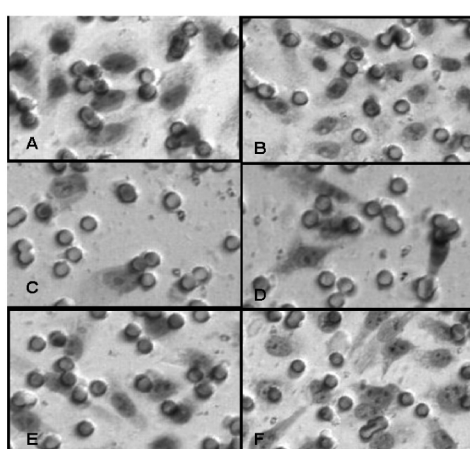


图 4 整合素  $\alpha_3\beta_1$ 、uPAR、FAP、PAI-1 对 HO-8910PM 侵袭能力的影响 ( $\times 400$ )

(A-F 对照组、FAP $\alpha$ 、整合素  $\alpha_3\beta_1$ 、整合素  $\alpha_3\beta_1$ +FAP、PAI-1、PAI-1+FAP)

Fig. 4 Effect of different drugs on invasion ability of HO-8910PM cells ( $\times 400$ )

(A-F control group, FAP $\alpha$ , integrin  $\alpha_3\beta_1$ , integrin  $\alpha_3\beta_1$ , FAP, PAI-1, PAI-1+FAP)

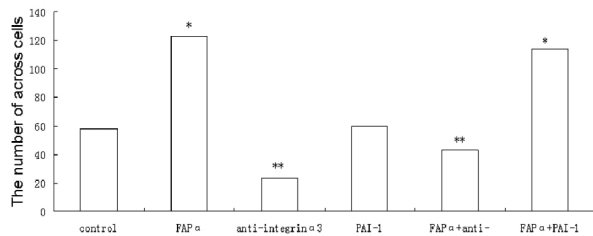


图 5 整合素  $\alpha_3\beta_1$ 、uPAR、FAP、PAI-1 对 HO-8910PM 侵袭能力的影响  $*P<0.05$   $**P<0.01$

Fig. 5 integrin $\alpha_3\beta_1$ , uPAR, FAP, PAI-1 on HO-8910PM Invasion of the comparison  $*P<0.05$   $**P<0.01$

### 3 讨论

FAP $\alpha$  的  $\beta$  融合区作为一个中间桥梁, 介导着 FAP 与整合素  $\alpha$  之间的连接。另外还有报道表明<sup>[6,7]</sup>, 整合素通过其  $\beta$  融合区与 uPAR 相连接, 发挥其细胞外信号传导作用。以上一系列的研究, 将 FAP 与整合素及 uPAR 联系到一起, 为我们研究 FAP 促侵袭、迁移、增殖的机制提供了有力的依据。

FAP 可以明显促进卵巢癌 HO-8910PM 的迁移和侵袭, 并具有浓度依赖性, 但是 FAP 是如何发挥其促进作用的机制尚不清楚<sup>[8]</sup>。

本实验证实, 整合素  $\alpha_3$ 、整合素  $\beta_1$  与 uPAR 在卵巢癌细胞系表达在同一位置, 用其中一个抗体免疫沉淀, 均可以检测到另两种蛋白的存在, 充分证实整合素  $\alpha_3\beta_1$  与 uPAR 是一个三聚体。然后我们又对 FAP 促进卵巢癌细胞系 HO-8910PM 发生侵袭、迁移、增殖的机制做了进一步的研究, 分别采用了 transwell 侵袭实验、迁移实验。

结果发现, 抑制整合素  $\alpha_3\beta_1$  后可以明显抑制卵巢癌细胞的侵袭、迁移、增殖能力, 与对照组相比有统计学意义 ( $P$  值均  $<0.01$ ), 并且整合素  $\alpha_3\beta_1$  受到抑制后, FAP 对卵巢癌的促

侵袭、迁移及增殖能力也有所减弱, 与 FAP 对照组相比有统计学意义 ( $P$  值均  $<0.01$ ), 由此可以证实 FAP 在促进卵巢癌发生侵袭、迁移、增殖过程中是通过其  $\beta$  融合区与整合素的  $\beta$  融合区相联结来实现的。国外也有一些关于整合素  $\beta_1$  在多种恶性肿瘤的侵袭迁移过程的作用的报道, 研究发现, 整合素  $\beta_1$  的表达与非小细胞肺癌的淋巴结转移密切相关, 整合素  $\beta_1$  表达阳性的癌细胞侵袭迁移能力也随之强<sup>[9-11]</sup>。同时也有研究发现<sup>[12,13]</sup>, 给予整合素  $\beta_1$  抗体后, 可明显抑制肿瘤细胞对胶原蛋白IV 的黏附, 而胶原蛋白IV 是细胞外基质的重要组成部分, 说明整合素  $\beta_1$  在肿瘤细胞与细胞外基质的黏附过程中是必不可少的。从而为肿瘤细胞发生转移提供了有利条件。整合素在多种恶性肿瘤的表达情况都可以作为较好的诊断指标, 对肿瘤的早期诊断预后的评估有重要的意义<sup>[14,15]</sup>。

Raqhu 等报道<sup>[16]</sup> uPAR 最先在乳腺癌的研究中被发现, 在乳腺癌中表达水平发生变化, 并对乳腺癌的辅助化疗, 内分泌治疗效果有预测意义, 针对它的靶向治疗也在研究中。在研究 uPA 与前列腺癌的关系中发现<sup>[17]</sup>, uPA 系统与前列腺癌的分期、分级和转移紧密相关, 在前列腺癌患者循环血中检测 uPA 的表达时发现, 术前 uPA 水平与 T-PSA、Gleason 总分、临床分期都对前列腺癌有独立的预后作用。uPA/uPAR 还可以作为诊断和筛查小细胞肺癌的指标<sup>[18]</sup>, 其高表达活性不仅与癌细胞侵袭能力相关, 而且还和癌细胞的耐药有关。uPA 系统在胃肠道肿瘤中的检测提示<sup>[19]</sup>, uPA 与肿瘤分级分期相关, 并能够提示癌前病变的危险程度, 可能与其预后密切相关。目前关于 uPA 系统与卵巢癌侵袭、迁移及预后的关系还有待于进一步研究<sup>[20]</sup>。

在此基础上, 我们又在 HO-8910PM 细胞系中加入了 uPAR 的生理抑制剂 PAI-1 发现, 高侵袭卵巢 HO-8910PM 细胞系发生侵袭、迁移、增殖的作用没有明显减弱, 与不加药前 HO-8910PM 的侵袭、迁移能力比较没有统计学意义 ( $P>0.05$ ), 又将 FAP 蛋白和 PAI-1 同时加入到高侵袭卵巢癌细胞系 HO-8910PM 中, 发现 PAI-1 并不能抑制 FAP 对肿瘤的促侵袭、迁移及增殖的作用, 仅仅表现出 FAP 促 HO-8910PM 细胞侵袭、迁移的能力, 无统计学意义 ( $P>0.05$ )。

我们证实, 在卵巢癌细胞的促迁移过程中, 整合素  $\alpha_3\beta_1$  与 uPAR 共同作用, 将细胞外信号穿入细胞内, 或者将细胞内信号穿入细胞外, 介导肿瘤细胞的迁移。

本实验可以推断, 整合素  $\alpha_3\beta_1$  与 uPAR 是一个复合体, FAP 作用于整合素  $\alpha_3\beta_1$ , 通过 uPAR 介导细胞外信号, 将细胞信号传入细胞内, 从而发挥对卵巢癌的促迁移作用。

### 参考文献(References)

- Trulsson M, Yu H, Gisselsson L, et al. HAMLET Binding to  $\alpha$ -Actinin Facilitates Tumor Cell Detachment[J]. PLoS One, 2011, 6(3):171-179
- Cheng JD, Dunbrack RL Jr, Valianou M, et al. Promotion of tumor growth by murine fibroblast activation protein, a serine protease, in an animal model[J]. Cancer Res, 2002, 62(16):4767-4772
- Crippa MP. Urokinase-type plasminogen activator [J]. Int J Biochem Cell Biol, 2007, 39(4):690-698
- Yano H, Mazaki Y, Kurokawa K. Roles played by a subset of integrin-signaling molecules in cadherin-based cell-cell adhesion [J]. The Journal of Cell, 2009, (2):61-66

- [5] David A, Fishman, Yueying Liu, et al. Lysophosphatidic acid promotes matrix metalloproteinase (MMP) activation and MMP-2 depend invasion in ovarian cancer cells [J]. *Cancer Res*, 2001, 61(7): 3194-3199
- [6] Zhang F, Tom CC, Kugler MC, et al. Distinct ligand binding sites in integrin $\alpha$ 3 $\beta$ 1 regulate matrix adhesion and cell-cell contact [J]. *Cell Biol*, 2003, 163(1):177-188
- [7] Chen X, Liu S, Hou Y. Micro PET imaging of breast cancer alphav-integrin expression with 64 Cu-labeled dimeric RGD peptides[J]. *Mol Imaging Biol*, 2004, 6(5):350-359
- [8] Xie H, Diagaradjane P, Deorukhkar AA, et al. Integrin  $\alpha$  (v) $\beta$  (3)-targeted gold nanoshells augment tumor vasculature-specific imaging and therapy[J]. *Nanomedicine*, 2011, 6:259-269
- [9] Kim M, Carman CV, Springer TA. Biodirectional transmembrane signaling by cytoplasmic domain separation in integrins[J]. *Science*, 2003, 301(5640):1720-1728
- [10] He Chen, Wei-Wei Yang, Qiu-Ting Wen, et al. TGF- $\beta$ -induced increases the proliferation, adhesion, and migration of HO-8910PM [J], 2009, 87(3):189-194
- [11] Rettig WJ, Garin-Chesa P, Beresford HR, et al. Cell-surface glycoproteins of human sarcomas: differential expression in normal and malignant tissues and cultured cells [J]. *Proc Natl Acad Sci USA*, 2008, 85(9):3110-3124
- [12] Jeong SJ, Luo R, Singer K, et al. GPR56 Functions Together with  $\alpha$ 3 $\beta$ 1 Integrin in Regulating Cerebral Cortical Development[J]. *PLoS One*, 2013, 8(7):e68781
- [13] Park CC, Zhang H, Pallavicini M, et al. Bissell MJ. Beta1 integrin inhibitory antibody induces apoptosis of breast cancer cells, inhibits growth, and distinguishes malignant from normal phenotype in three-dimensional cultures and in vivo [J]. *Cancer Res*, 2006, 66 (3): 1526-1535
- [14] Nakada M, Nambu E, Furuyama N, et al. Integrin  $\alpha$ 3 is overexpressed in glioma stem-like cells and promotes invasion [J]. *Br J Cancer*, 2013, 108(12):2516-2524
- [15] Chen X, Liu S, Hou Y. Micro PET imaging of breast cancer alphav-integrin expression with 64 Cu-labeled dimeric RGD peptides[J]. *Mol Imaging Biol*, 2004, 6(5):350-359
- [16] Raghu H, Sodadus PK, Malla RR, et al. Localization of uPAR and MMP-9 in lipid rafts is critical for migration, invasion and angiogenesis in human breast cancer cells [J]. *BMC Cancer*, 2010, 2 (4):620-647
- [17] Gregory KJ, Zhao B, Bielenberg DR, et al. Vitamin D binding protein-macrophage activating factor directly inhibits proliferation, migration, and uPAR expression of prostate cancer cells [J]. *PLoS One*, 2010, 5(10):e13428
- [18] Gutova M, Najbauer J, Gevorgyan A, et al. Identification of uPARpositive chemoresistant cells in small cell lung cancer[J]. *PLoS One*, 2007, 2(2):243-252
- [19] Almasi CE, Brasso K, Iversen P, et al. Prognostic and predictive value of intact and cleaved forms of the urokinase plasminogen activator receptor in metastatic prostate cancer [J]. *Prostate*, 2011, 71 (8):899-907
- [20] Crippa MP. Urokinase-type plasminogen activator [J]. *Int J Biochem Cell Biol*, 2007, 39(4):690-698

## (上接第 2051 页)

- [19] Taniguchi S, Kang L, Kimura T, Niki I. Hydrogen sulphide protects mouse pancreatic beta-cells from cell death induced by oxidative stress, but not by endoplasmic reticulum stress [J]. *Br J Pharmacol*, 2011, 162(5):1171-1178
- [20] Sivarajah A, Collino M, Yasin M, et al. Anti-apoptotic and anti-inflammatory effects of hydrogen sulfide in a rat model of regional myocardial I/R [J]. *Shock*, 2009, 31(3):267-274
- [21] Zhuo Y, Chen PF, Zhang AZ, et al. Cardioprotective effect of hydrogen sulfide in ischemic reperfusion experimental rats and its influence on expression of survivin gene [J]. *Biol Pharm Bull*, 2009, 32(8): 1406-1410
- [22] Neff TA, Guo RF, Neff SB, et al. Relationship of acute lung inflammatory injury to Fas/FasL system [J]. *Am J Pathol*, 2005, 166(3): 685-694
- [23] Pan G, O'Rourke K, Dixit VM. Caspase-9, Bcl-XL, and Apaf-1 form a ternary complex [J]. *J Biol Chem*, 1998, 273(10):5841-5845
- [24] Adams JM, Cory S. The Bcl-2 protein family: arbiters of cell survival [J]. *Science*, 1998, 281(5381):1322-1326
- [25] Li L, Salto-Tellez M, Tan CH, et al. GYY4137, a novel hydrogen sulfide-releasing molecule, protects against endotoxic shock in the rat [J]. *Free Radic Biol Med*, 2009, 47(1):103-113
- [26] Rossoni G, Sparatore A, Tazzari V, et al. The hydrogen sulphide-releasing derivative of diclofenac protects against ischaemia-reperfusion injury in the isolated rabbit heart [J]. *Br J Pharmacol*, 2008, 153 (1):100-109
- [27] Sidhpuriwala J, Li L, Sparatore A, Bhatia M, et al. Effect of S-diclofenac, a novel hydrogen sulfide releasing derivative, on carragenan-induced hindpaw oedema formation in the rat [J]. *Eur J Pharmacol*, 2007, 569(1-2):149-154